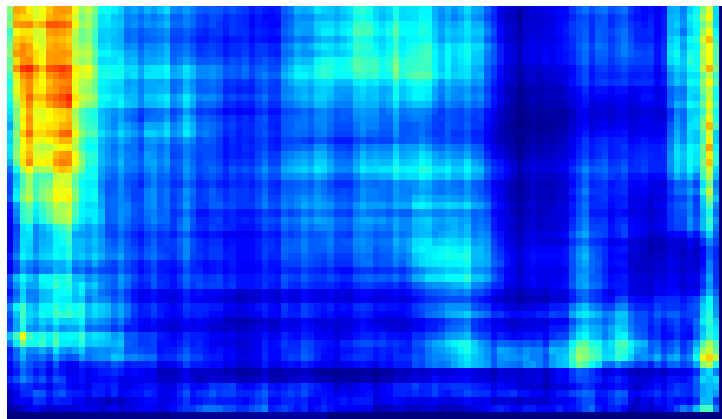
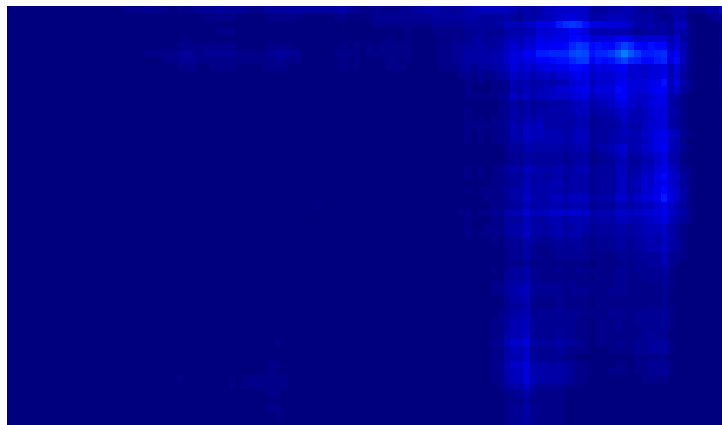


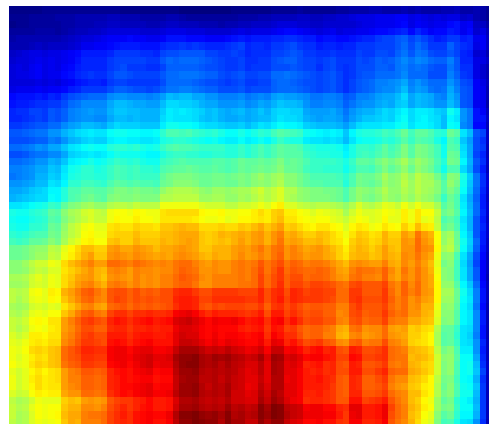
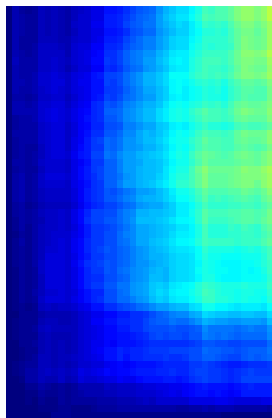
Seney et al., 2021 DLFPC



Astrocytes



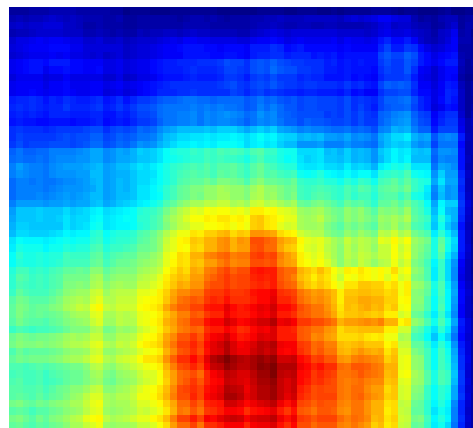
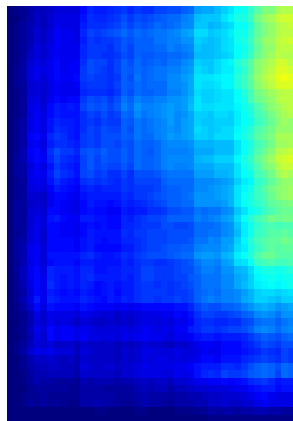
Seney et al., 2021 DLFPC



D1-Matrix



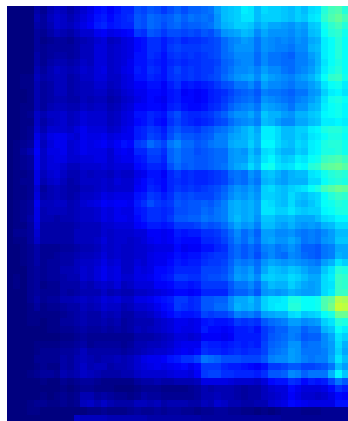
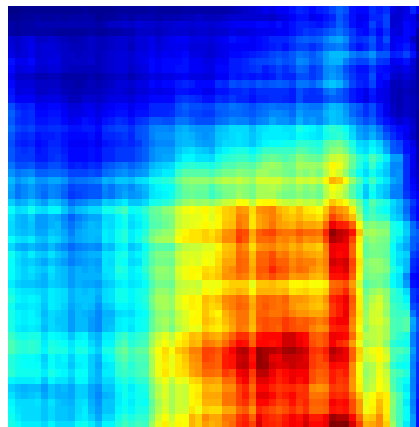
Seney et al., 2021 DLFPC



D1-Striosome



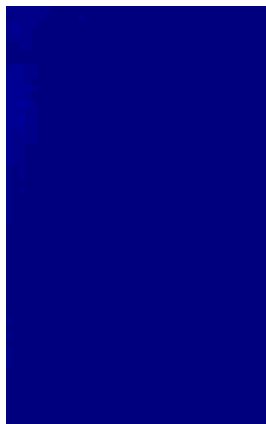
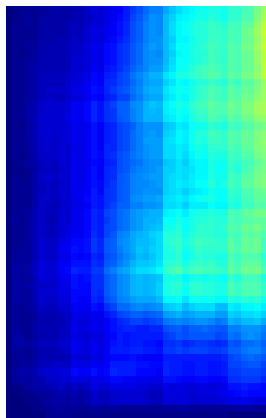
Seney et al., 2021 DLFPC



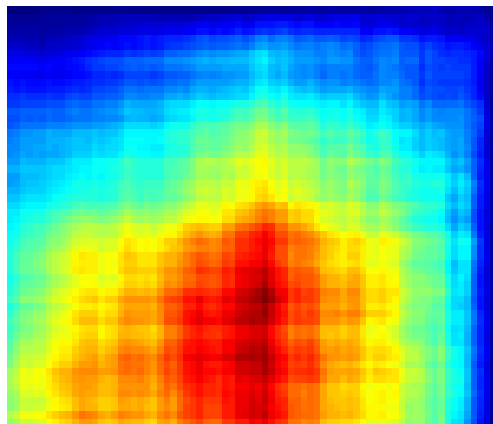
D1/D2-Hybrid



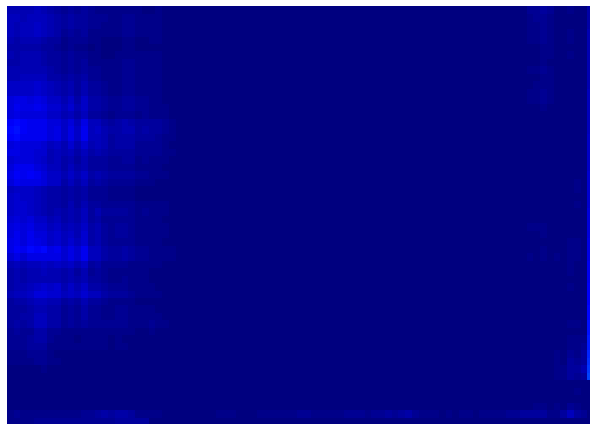
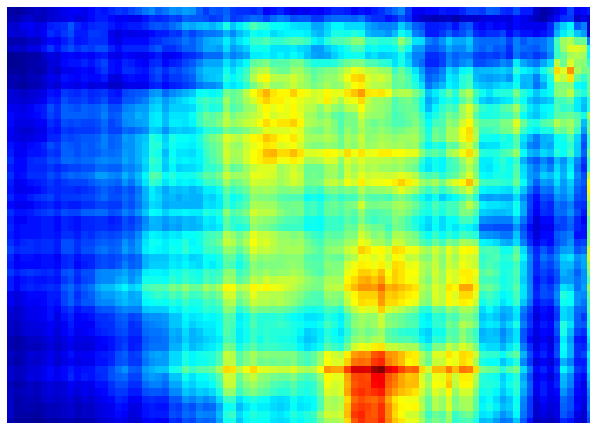
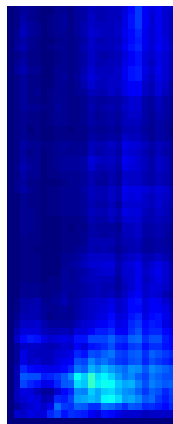
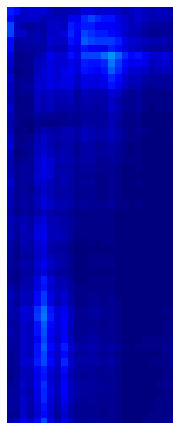
Seney et al., 2021 DLFPC



D2-Matrix



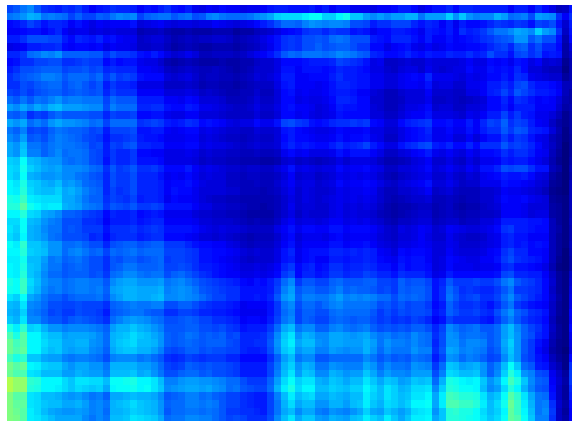
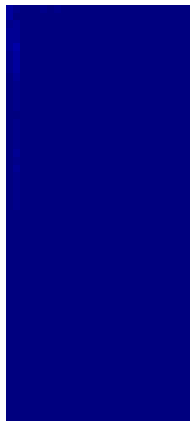
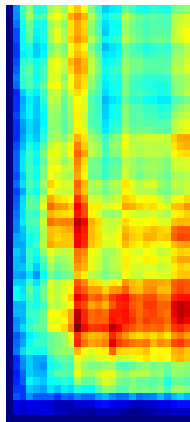
Seney et al., 2021 DLFPC



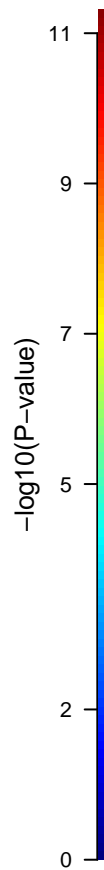
D2-Striosome



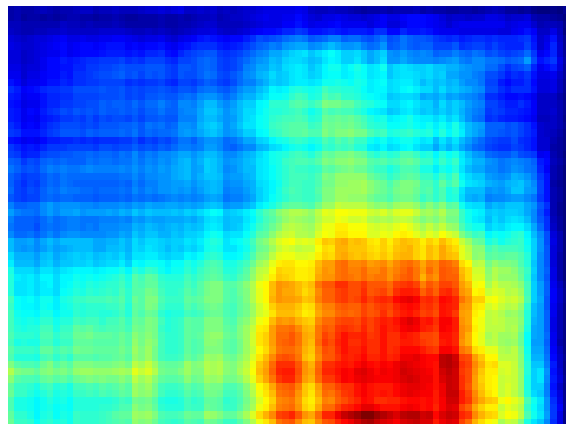
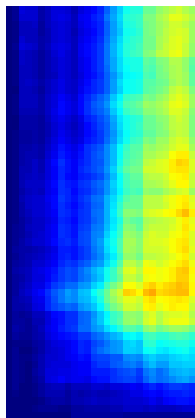
Seney et al., 2021 DLFPC



Endothelial



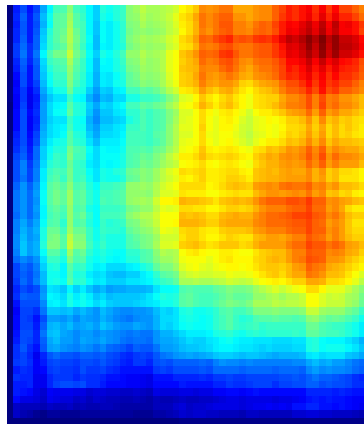
Seney et al., 2021 DLFPC



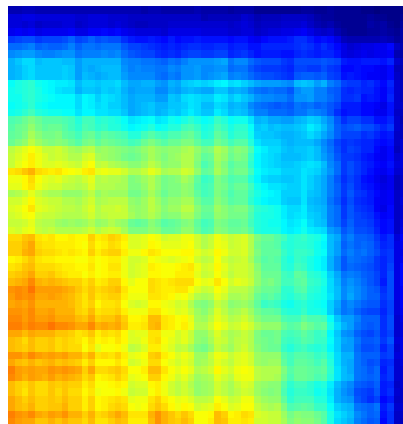
Interneurons



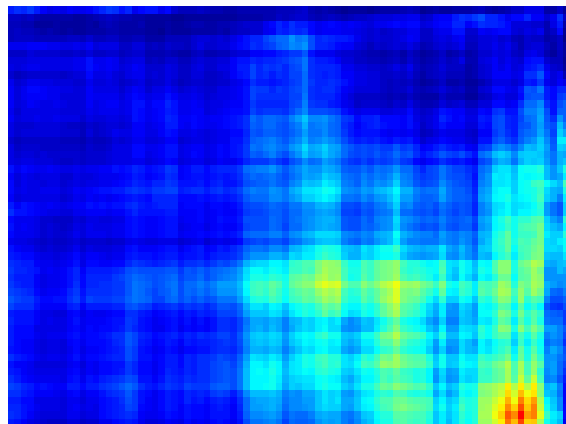
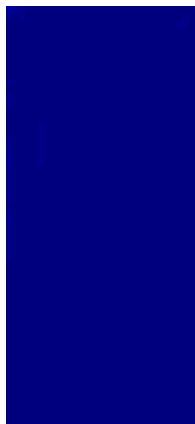
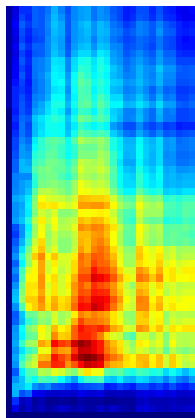
Seney et al., 2021 DLFPC



Microglia



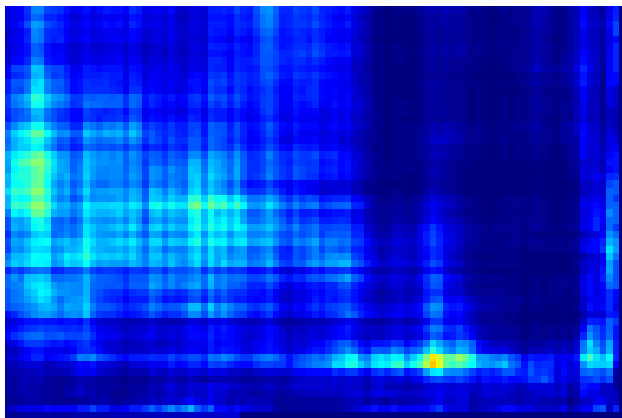
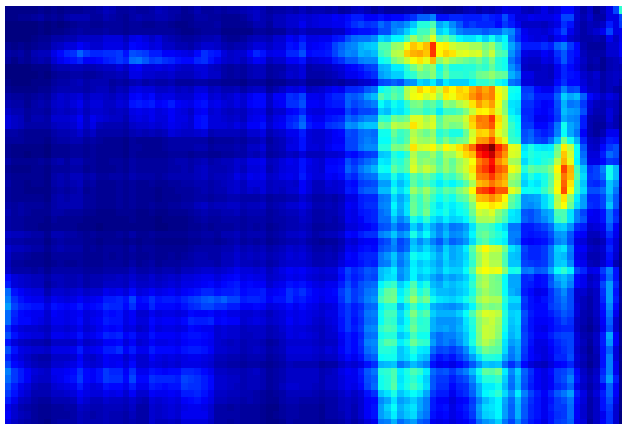
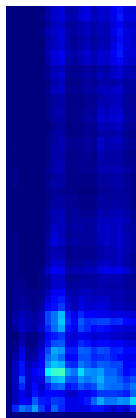
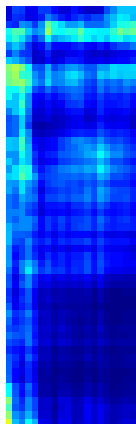
Seney et al., 2021 DLFPC



Oligos



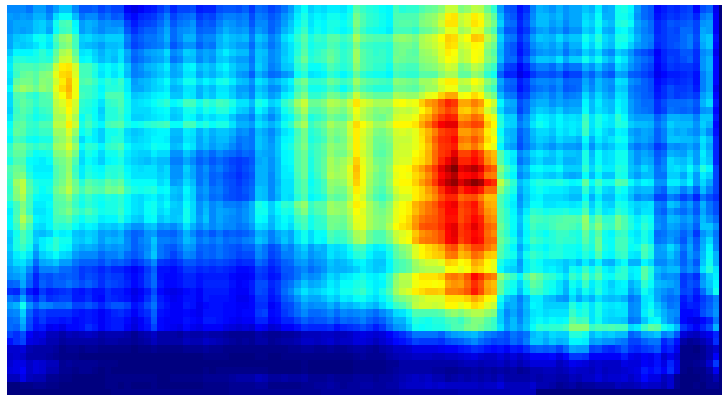
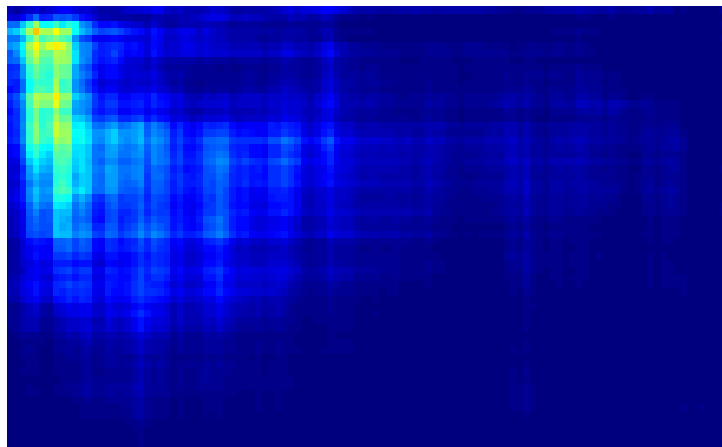
Seney et al., 2021 DLFPC



Oligos_Pre



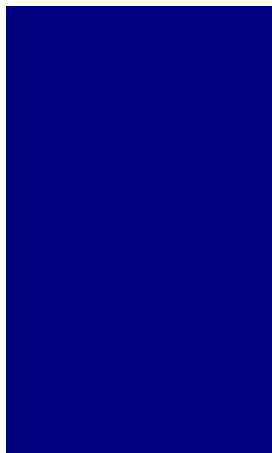
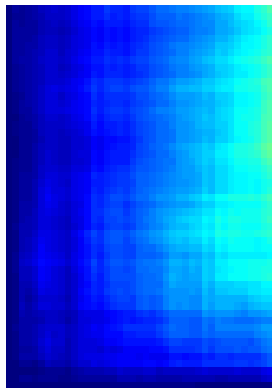
Seney et al., 2021 NAC



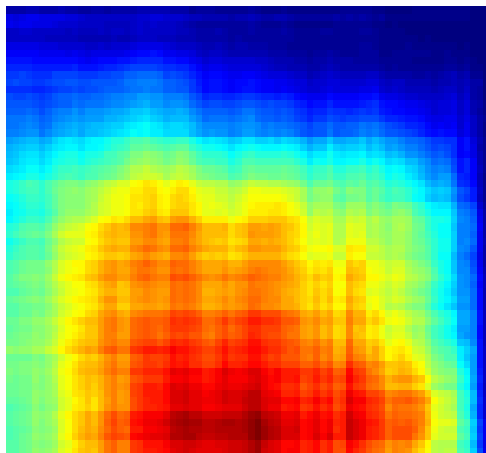
Astrocytes



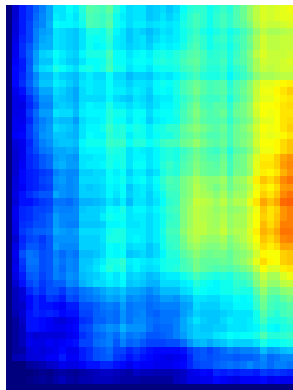
Seney et al., 2021 NAC



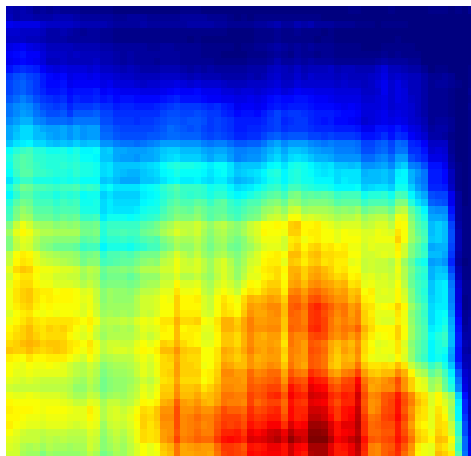
D1-Matrix



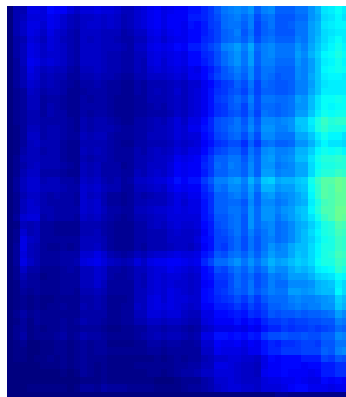
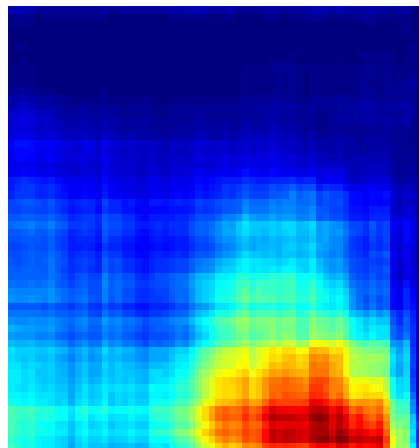
Seney et al., 2021 NAC



D1-Striosome



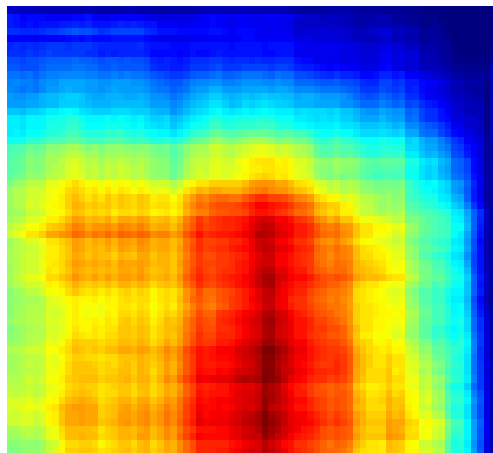
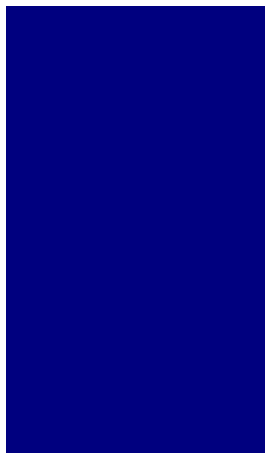
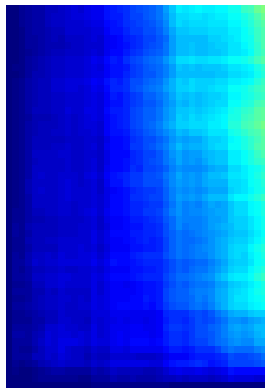
Seney et al., 2021 NAC



D1/D2-Hybrid



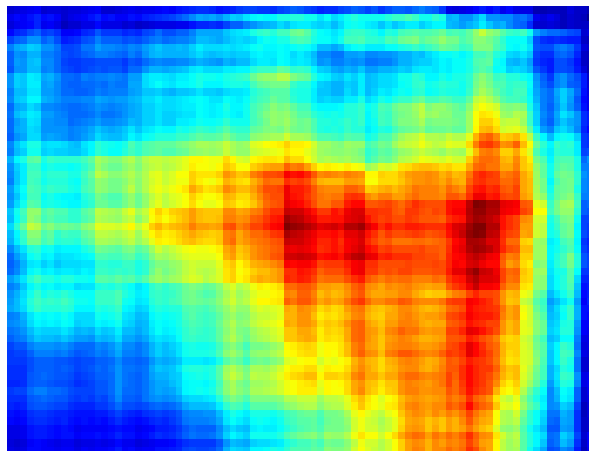
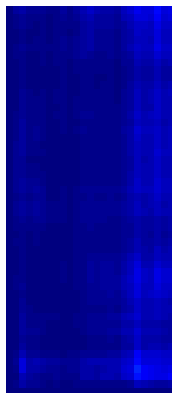
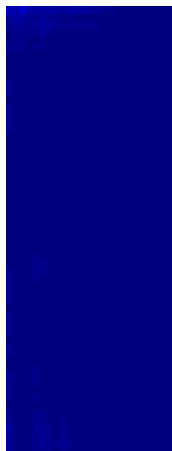
Seney et al., 2021 NAC



D2-Matrix



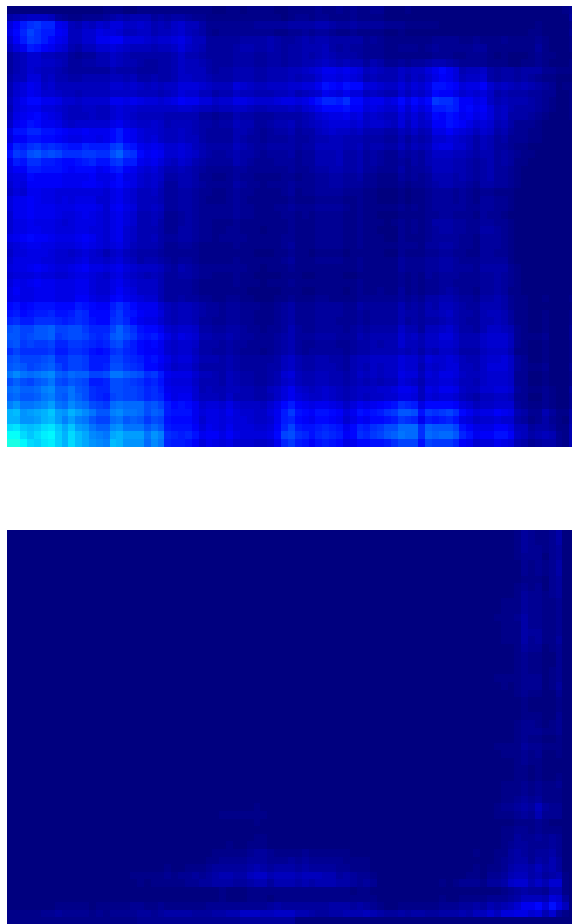
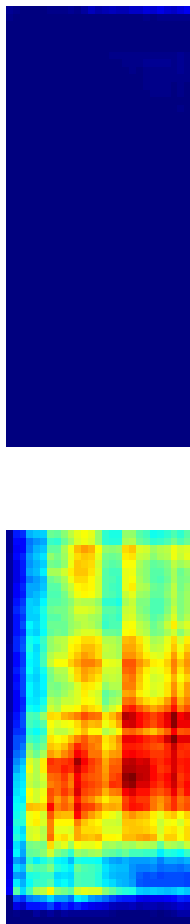
Seney et al., 2021 NAC



D2-Striosome



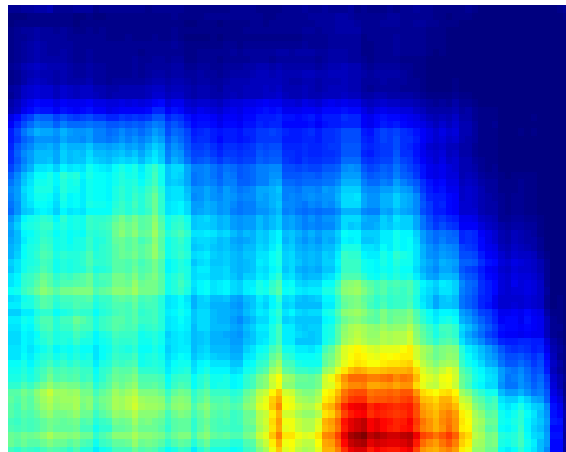
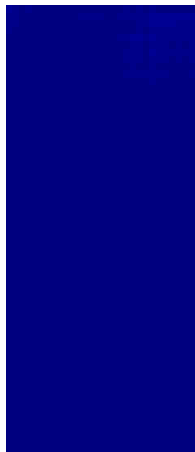
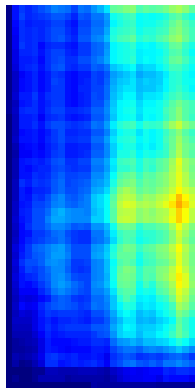
Seney et al., 2021 NAC



Endothelial



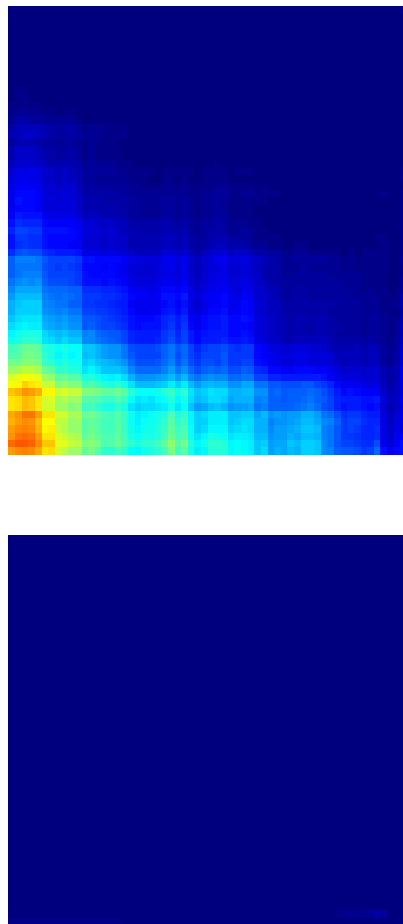
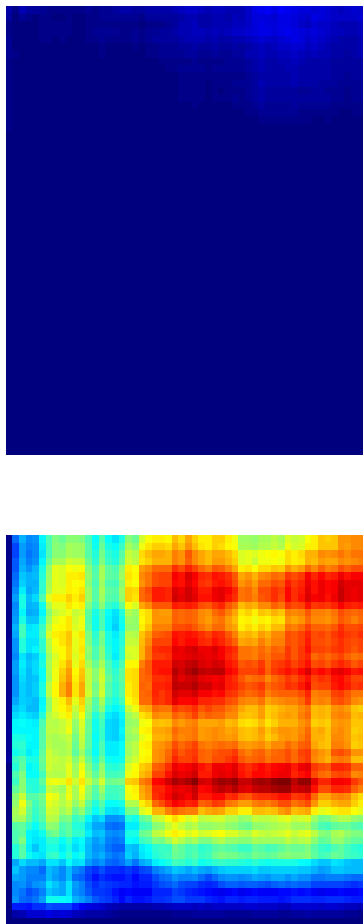
Seney et al., 2021 NAC



Interneurons

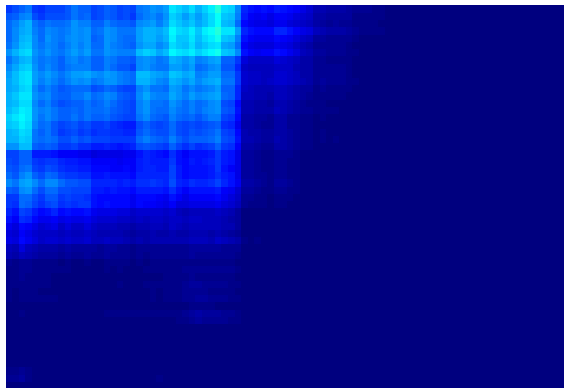
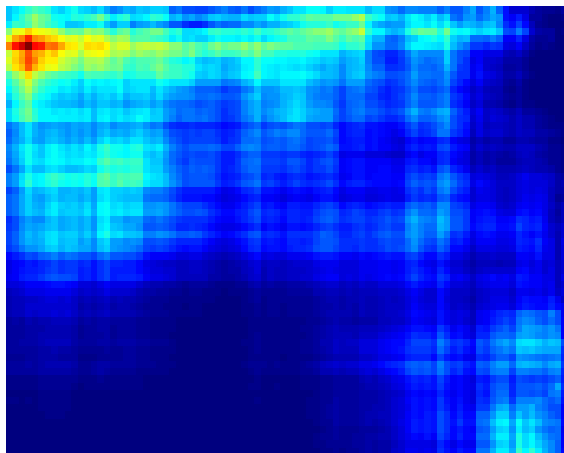
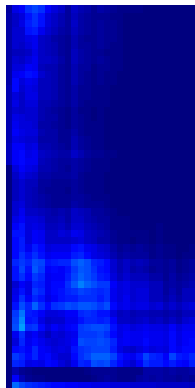
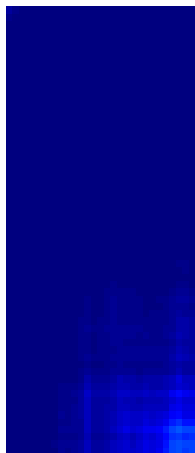


Seney et al., 2021 NAC

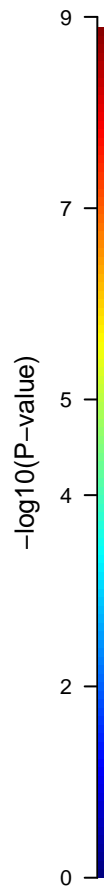


Microglia

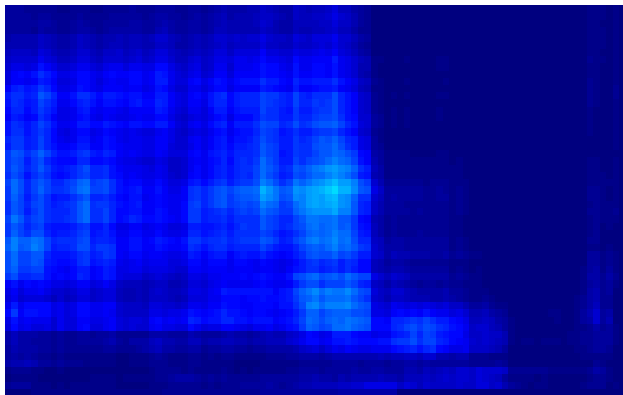
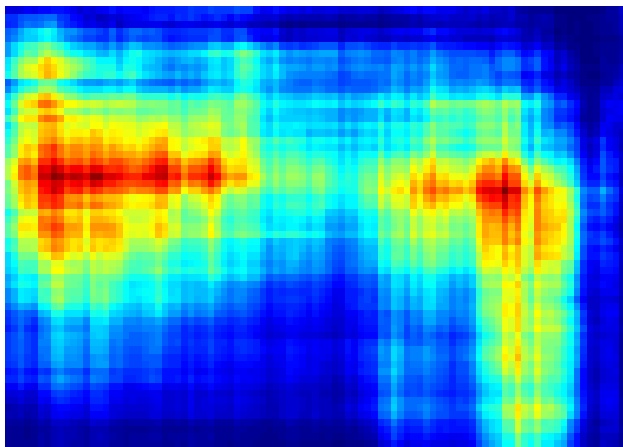
Seney et al., 2021 NAC



Oligos



Seney et al., 2021 NAC



Oligos_Pre

